

Typ: Sprężarki hermetyczne spiralne

Producent: Copeland

Typoszereg: ZH

Model: ZH26K4E-PFJ

Dane techniczne

Wydajność objętościowa [m ³ /h]:	10
Natężenie hałasu [dBA]:	74
Ciśnienie akustyczne [dB]:	63
Masa netto [kg]:	28
Masa brutto [kg]:	31
Napełnienie olejem [dm ³]:	1,5
Maksymalne wysokie ciśnienie [bar]:	32
Maksymalne stałe ciśnienie [bar]:	20
Maksymalna temperatura nasycenia TS [°C]:	50
Kategoria PED:	1

Dane elektryczne

Zasilanie [V/~/Hz]:	220-240V/1/50Hz
Prąd zwarcia [A]:	97
Max. pobór prądu [A]:	20,6
Oporność uzwojenia [Ω]:	0,7
Oporność uzwojenia rozruchowego [Ω]:	1,7

Przyłącza

	<u>cale</u>
Przyłącze rurowe na ssaniu (lutowane):	3/4"
Przyłącze rurowe na tłoczeniu (lutowane):	1/2"

R134a

Wydajność chłodnicza [kW]

$t_c \setminus t_e$	-25	-20	-15	-10	-5	0	5	10	15
20	2.35	3.03	3.86	4.86	6.04	7.44	9.06	-	-
25	2.17	2.81	3.60	4.55	5.68	7.00	8.55	-	-
30	2.01	2.63	3.38	4.28	5.35	6.61	8.07	9.76	-
35	1.87	2.46	3.17	4.03	5.04	6.23	7.62	9.23	-
40	1.74	2.31	2.98	3.79	4.75	5.88	7.20	8.72	10.48
45	1.62	2.16	2.80	3.56	4.47	5.54	6.79	8.24	9.90
50	1.48	2.00	2.61	3.34	4.20	5.21	6.39	7.76	9.33
55	1.34	1.83	2.42	3.11	3.92	4.87	5.99	7.28	8.77
60	-	1.65	2.21	2.86	3.63	4.53	5.58	6.80	8.21
65	-	-	1.97	2.59	3.32	4.17	5.16	6.31	7.64
70	-	-	-	2.30	2.98	3.78	4.71	5.80	7.05

Pobór mocy [kW]

$t_c \setminus t_e$	-25	-20	-15	-10	-5	0	5	10	15
20	1.03	1.14	1.26	1.41	1.58	1.79	2.04	-	-
25	1.08	1.16	1.26	1.37	1.52	1.69	1.90	-	-
30	1.15	1.22	1.30	1.39	1.51	1.65	1.83	2.04	-
35	1.24	1.30	1.37	1.45	1.55	1.67	1.82	2.00	-
40	1.35	1.41	1.48	1.55	1.64	1.74	1.87	2.03	2.21
45	1.47	1.54	1.61	1.68	1.76	1.86	1.97	2.11	2.28
50	1.60	1.68	1.75	1.83	1.92	2.01	2.12	2.25	2.40
55	1.72	1.82	1.91	2.00	2.10	2.20	2.31	2.44	2.58
60	-	1.96	2.08	2.19	2.30	2.41	2.53	2.66	2.81
65	-	-	2.25	2.38	2.51	2.64	2.78	2.92	3.07
70	-	-	-	2.58	2.74	2.89	3.05	3.21	3.38

Prad [A]

$t_c \setminus t_e$	-25	-20	-15	-10	-5	0	5	10	15
20	9.43	9.90	10.46	11.15	12.02	13.10	14.42	-	-
25	9.31	9.63	10.01	10.50	11.12	11.92	12.95	-	-
30	9.35	9.57	9.82	10.15	10.58	11.16	11.92	12.92	-
35	9.52	9.68	9.85	10.05	10.33	10.74	11.29	12.05	-
40	9.74	9.90	10.03	10.16	10.34	10.61	11.01	11.57	12.34
45	9.98	10.18	10.31	10.42	10.55	10.73	11.01	11.42	12.01
50	10.18	10.46	10.65	10.78	10.90	11.04	11.25	11.56	12.01
55	10.29	10.70	10.99	11.19	11.34	11.49	11.67	11.93	12.30
60	-	10.84	11.27	11.59	11.83	12.03	12.23	12.47	12.80
65	-	-	11.45	11.93	12.30	12.60	12.87	13.15	13.48
70	-	-	-	12.16	12.70	13.14	13.53	13.89	14.28

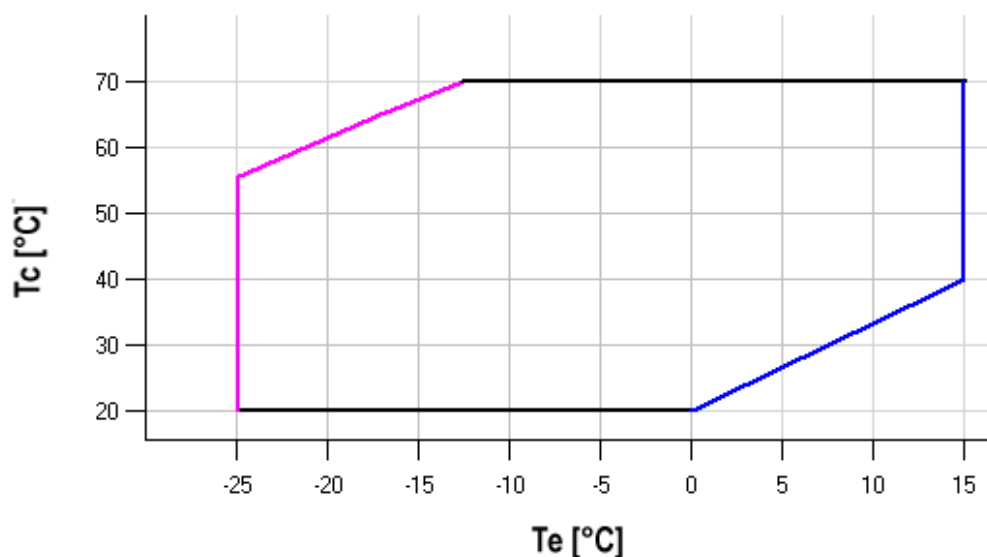
Przepływ masowy [kg/h]

$t_c \setminus t_e$	-25	-20	-15	-10	-5	0	5	10	15
20	51.36	65.27	81.73	101.02	123.45	149.32	178.92	-	-
25	49.79	63.51	79.70	98.67	120.71	146.12	175.19	-	-
30	48.65	62.26	78.27	96.98	118.70	143.72	172.35	204.87	-
35	47.78	61.34	77.24	95.78	117.25	141.97	170.21	202.29	-
40	47.00	60.59	76.46	94.89	116.20	140.68	168.62	200.33	236.11
45	46.14	59.84	75.75	94.16	115.37	139.69	167.41	198.82	234.24
50	45.03	58.92	74.94	93.40	114.60	138.83	166.39	197.59	232.72
55	43.52	57.66	73.87	92.46	113.71	137.93	165.42	196.47	231.38
60	-	55.89	72.37	91.15	112.53	136.82	164.30	195.29	230.07
65	-	-	70.26	89.32	110.91	135.33	162.89	193.88	228.59
70	-	-	-	86.78	108.66	133.29	161.00	192.07	226.80

C.O.P. [W/W]

$t_c \setminus t_e$	-25	-20	-15	-10	-5	0	5	10	15
20	2.27	2.66	3.06	3.45	3.82	4.15	4.44	-	-
25	2.01	2.43	2.87	3.31	3.74	4.14	4.50	-	-
30	1.75	2.16	2.61	3.07	3.54	3.99	4.41	4.79	-
35	1.51	1.89	2.31	2.77	3.25	3.72	4.19	4.62	-
40	1.29	1.63	2.02	2.44	2.90	3.37	3.85	4.30	4.73
45	1.10	1.40	1.74	2.12	2.54	2.98	3.44	3.90	4.34
50	0.93	1.19	1.49	1.82	2.19	2.59	3.01	3.45	3.88
55	0.78	1.01	1.26	1.55	1.87	2.22	2.59	2.99	3.40
60	-	0.84	1.06	1.31	1.58	1.88	2.21	2.56	2.92
65	-	-	0.88	1.09	1.32	1.58	1.86	2.16	2.48
70	-	-	-	0.89	1.09	1.31	1.55	1.81	2.09

Zakres zastosowania



Maksymalna temperatura parowania
 Przegrzanie gazu 10K

Warunki robocze: przegrzanie na ssaniu 10K, dochłodzenie 0K

t_c - Temperatura skraplania [°C]

t_e - Temperatura odparowania [°C]

R407C

Wydajność chłodnicza [kW]

$t_c \setminus t_e$	-20	-15	-10	-5	0	5	10	15
25	4.23	5.29	6.49	7.88	9.47	-	-	-
30	3.92	4.96	6.15	7.52	9.09	10.89	-	-
35	3.63	4.65	5.81	7.14	8.67	10.43	12.46	14.77
40	3.37	4.35	5.46	6.74	8.22	9.93	11.89	14.14
45	3.14	4.06	5.11	6.33	7.75	9.38	11.27	13.44
50	2.93	3.78	4.76	5.90	7.24	8.79	10.59	12.67
55	-	3.51	4.40	5.46	6.70	8.15	9.85	11.82
60	-	-	4.04	4.99	6.12	7.46	9.05	10.90
65	-	-	3.68	4.51	5.52	6.73	8.18	9.90

Pobór mocy [kW]

$t_c \setminus t_e$	-20	-15	-10	-5	0	5	10	15
25	1.60	1.66	1.74	1.85	1.99	-	-	-
30	1.74	1.81	1.89	2.00	2.14	2.30	-	-
35	1.89	1.97	2.07	2.18	2.31	2.47	2.65	2.87
40	2.06	2.16	2.26	2.38	2.51	2.66	2.84	3.04
45	2.23	2.34	2.46	2.59	2.73	2.88	3.05	3.24
50	2.40	2.54	2.67	2.81	2.95	3.11	3.27	3.46
55	-	2.72	2.88	3.04	3.19	3.35	3.52	3.69
60	-	-	3.09	3.26	3.43	3.60	3.77	3.94
65	-	-	3.28	3.48	3.66	3.84	4.02	4.20

Prad [A]

$t_c \setminus t_e$	-20	-15	-10	-5	0	5	10	15
25	9.25	9.41	9.75	10.32	11.14	-	-	-
30	10.20	10.35	10.63	11.09	11.74	12.63	-	-
35	10.99	11.18	11.46	11.85	12.39	13.11	14.05	15.23
40	11.63	11.92	12.24	12.62	13.10	13.70	14.47	15.43
45	12.11	12.55	12.97	13.39	13.86	14.40	15.06	15.85
50	12.46	13.10	13.66	14.18	14.69	15.22	15.81	16.49
55	-	13.56	14.32	14.99	15.59	16.16	16.74	17.35
60	-	-	14.96	15.82	16.57	17.23	17.84	18.44
65	-	-	15.57	16.68	17.62	18.43	19.14	19.77

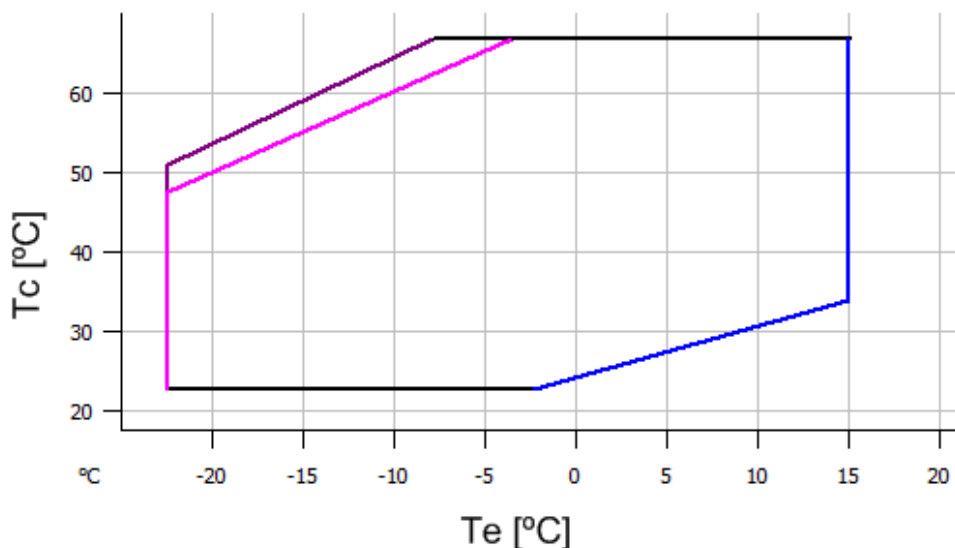
Przepływ masowy [kg/h]

$t_c \setminus t_e$	-20	-15	-10	-5	0	5	10	15
25	85.11	104.92	126.86	151.48	179.32	-	-	-
30	82.31	102.71	125.33	150.73	179.45	212.02	-	-
35	80.12	100.83	123.87	149.79	179.11	212.40	250.18	293.01
40	78.47	99.24	122.43	148.59	178.26	211.98	250.31	293.77
45	77.32	97.88	120.95	147.09	176.83	210.73	249.33	293.16
50	76.61	96.69	119.38	145.23	174.79	208.59	247.19	291.13
55	-	95.62	117.66	142.96	172.06	205.50	243.84	287.61
60	-	-	115.74	140.22	168.60	201.42	239.23	282.56
65	-	-	113.58	136.97	164.35	196.28	233.29	275.93

C.O.P. [W/W]

$t_c \setminus t_e$	-20	-15	-10	-5	0	5	10	15
25	2.65	3.19	3.73	4.26	4.76	-	-	-
30	2.26	2.75	3.25	3.75	4.25	4.73	-	-
35	1.92	2.36	2.81	3.27	3.75	4.23	4.69	5.14
40	1.64	2.02	2.42	2.84	3.28	3.73	4.19	4.65
45	1.41	1.73	2.08	2.45	2.84	3.26	3.70	4.15
50	1.22	1.49	1.78	2.10	2.45	2.83	3.23	3.66
55	-	1.29	1.53	1.80	2.10	2.43	2.80	3.20
60	-	-	1.31	1.53	1.79	2.08	2.40	2.76
65	-	-	1.12	1.30	1.51	1.75	2.04	2.36

Zakres zastosowania

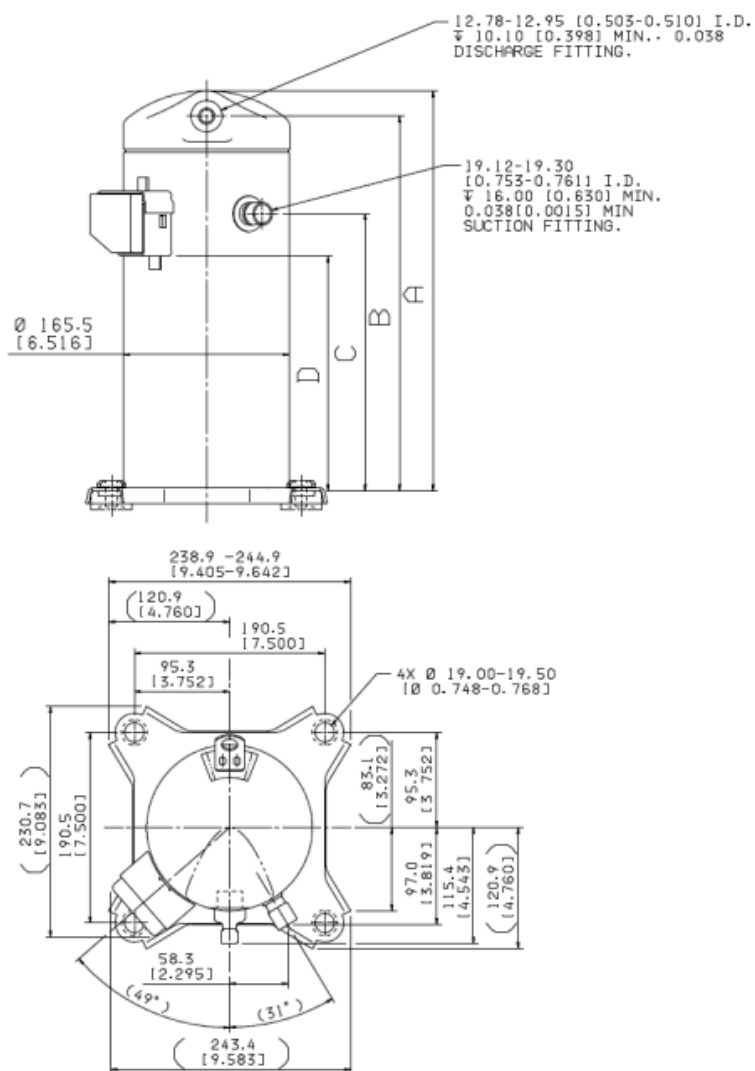


- Maksymalna temperatura parowania
- Przegrzanie gazu 10K
- Przegrzanie gazu 5K

Warunki robocze: przegrzanie na ssaniu 10K, dochłodzenie 0K

t_c - Temperatura skraplania [°C]

t_e - Temperatura odparowania [°C]



A	400,3 mm
B	374,8 mm
C	277,3 mm
D	235,1 mm

